

# CÁC HỢP CHẤT ASTEROSAPONIN PHÂN LẬP TỪ LOÀI SAO BIỂN *ACANTHASTER PLACCI*

Lê Thị Viên<sup>1</sup>, Trần Thị Hồng Hạnh<sup>1</sup>, Lê Bá Vinh<sup>1</sup>, Phan Thị Thanh Hương<sup>1</sup>,  
Nguyễn Văn Thành<sup>1</sup>, Nguyễn Xuân Cường<sup>1</sup>, Nguyễn Hoài Nam<sup>1</sup>,  
Đỗ Công Thung<sup>2</sup>, Châu Văn Minh<sup>1</sup>

<sup>1</sup>Viện Hóa sinh biển, Viện Hàn lâm Khoa học và Công nghệ Việt Nam

<sup>2</sup>Viện Tài nguyên và Môi trường biển, Viện Hàn lâm Khoa học và Công nghệ Việt Nam

## Abstract

Using various chromatographic methods, two asterosaponins namely thomasteroside A (1) and sodium  $6\alpha$ -[( $O$ - $\beta$ -D- $\beta$ -D-pyranosyl-(1 $\rightarrow$ 2)- $O$ - $\beta$ -D-galactopyranosyl-(1 $\rightarrow$ 4)- $O$ - $\beta$ -D-quinoxyranosyl-(1 $\rightarrow$ 2)]- $O$ - $\beta$ -D-xylopyranosyl-(1 $\rightarrow$ 3)- $O$ - $\beta$ -D-quinoxyranosyl]oxy]-5 $\alpha$ -pregn-9(11)-ene-20-one-3 $\beta$ -yl sulfate (2), were isolated from the methanol extract of starfish *Acanthaster planci*. Their structures were elucidated by 1D and 2D-NMR experiments and comparison of IR NMR data with reported values.

**Keywords.** *Acanthaster planci*, Acanthasteridae, starfish, saponin, asterosaponin.

## MỞ ĐẦU

Một nhóm các hợp chất chính từ các sinh vật trong ngành Da gai đó là các saponin. Các saponin ở i sâm là các tritecpen glycosit, hầu hết thuộc cung holostane, (20S)-20-hydroxy-5 $\alpha$ -lanostane-carboxylic acid (18-20) lactone, còn các saponin sao biển lại là các asterosaponin, các steroid có ông. Các asterosaponin từ sao biển cũng mang óm chúc sulphat. Tuy nhiên, khác với các hợp át từ hải sâm (các nhóm sulphat được gắn với các c đường) thì nhóm sulphat của các asterosaponin sao biển lại gắn vào phần khung cấu trúc [1].

Trong khuôn khổ các nghiên cứu của nhóm tác i về các loài sao biển ở Việt Nam, chúng tôi công trong công trình này chi tiết quá trình phân lập và c định xác định cấu trúc của hai hợp chất asterosaponin từ loài sao biển *Acanthaster planci*.

## THỰC NGHIỆM

### 1. Thiết bị và hóa chất

Phô  $^1$ H NMR (500 MHz) và  $^{13}$ C NMR (125 Hz) đc đo trên máy Bruker AM500 FT-NMR với 4S đc sử dụng làm chất chuẩn nội. Phô khói ng phun mù điện tử (ESI-MS) đc đo trên máy Agilent 1260 series single quadrupole LC/MS. Sắc lồng trung áp (MPLC) đc tiến hành trên máy stage - Isolera One system (SE-751 03 Uppsala, uy Điển). Sắc ký cột (CC) sử dụng silica gel

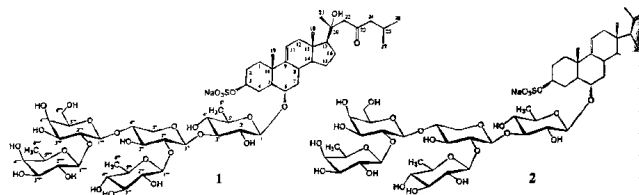
(Kieselgel 60, 70-230 mesh and 230-400 mesh, Merck) và YMC RP-18 (30-50  $\mu$ m, Fuji Silysia Chemical Ltd.). Sắc ký lớp móng (TLC) sử dụng bán trắng sẵn silica gel 60 F<sub>254</sub> (1.05554.0001, Merck) và RP-18 F<sub>254S</sub> plates (1.15685.0001, Merck). Vết chất đc phát hiện bằng cách phun đều thuốc thử axít H<sub>2</sub>SO<sub>4</sub> 10% và hơ nóng từ từ đến khi hiện màu.

### 2.2. Mẫu sao biển

Mẫu loài sao biển *A. planci* Linnaeus đc thu tại khu vực Bãi Tử Long, Quảng Ninh, vào tháng 04 năm 2015 và đc PGS. TS. Đỗ Công Thung giám định. Mẫu tiêu bản đc lưu tại Viện Hóa sinh biển và Viện Tài nguyên và Môi trường biển.

### 2.3. Phân lập các hợp chất

Mẫu sao biển *A. planci* sau khi thu về đc loại bỏ nội tạng rửa sạch, cắt nhỏ, sấy khô ở nhiệt độ dưới 50°C sau đó xay nhô thu đc 3,5 kg bột khô. Bột khô sao biển đc chiết 3 lần với metanol trên thiết bị chiết siêu âm, dịch chiết sau đó đc cô quay dưới áp suất giảm thu đc cặn chiết MeOH (210 g). Cặn chiết metanol đc hòa vào nước, sau đó chiết phân lopy với dung môi diclometan thu đc cặn chiết diclometan (68 g) và dịch nước. Lopy nước đc đưa lên cột Diaion HP-20 rửa giải gradient với hệ dung môi lần lượt là nước, metanol:nước 25/75, metanol:nước 75/25 và metanol thu đc 4 phần



Hình 1: Cấu trúc hóa học của các hợp chất 1 và 2

Bảng 1: Số liệu phổ  $^1\text{H-NMR}$  và  $^{13}\text{C-NMR}$  phần aglycon của 1, 2 và các chất tham khảo

C	$^6\delta_{\text{C}}$	1		$^6\delta_{\text{C}}$	2	
		$\delta_{\text{C}}^{\text{b}, \text{c}}$	$\delta_{\text{H}}^{\text{b}, \text{d}} (J = \text{Hz})$		$\delta_{\text{C}}^{\text{b}, \text{c}}$	$\delta_{\text{H}}^{\text{b}, \text{d}} (J = \text{Hz})$
1	36,2	35,96	1,37 m/1,60 m	35,9	35,99	1,35 m/1,61 m
2	29,7	29,30	1,88 m/2,75 m	29,4	29,45	1,86 m/2,76 m
3	78,0	77,86	4,89 m	77,6	77,65	4,85 m
4	31,0	30,63	1,75 m/3,35 m	30,7	30,75	1,67 m/3,44 m
5	49,5	49,15	1,49 m	49,2	49,29	1,45 m
6	80,5	79,89	3,82 m	80,2	80,25	3,76 m
7	41,8	41,20	1,25 m/2,65 m	41,6	41,57	1,26 m/2,66 m
8	35,6	35,31	2,08 m	35,5	35,58	2,05 m
9	145,4	145,48	-	146,0	146,14	-
10	38,5	38,30	-	38,3	38,41	-
11	116,7	116,66	5,20 d (5,5)	116,0	116,06	5,21 br s
12	42,6	42,40	2,09 m/2,28 m	40,6	40,59	2,13 br s
13	41,8	41,58	-	42,5	42,56	-
14	54,1	53,98	1,37 m	53,7	53,72	1,32 m
15	23,6	25,11	1,27 m/1,80 m	23,1	25,57	1,20 m/1,75 m
16	25,6	23,20	1,80 m/2,25 m	25,6	23,17	1,61 m/2,35 m
17	59,7	59,37	1,78 m	63,3	63,43	2,51 dd (9,0, 9,5)
18	13,8	13,60	1,01 s	13,1	13,18	0,56 s
19	19,5	19,29	0,93 s	19,2	19,25	0,91 s
20	73,9	73,87	-	208,3	208,42	-
21	27,2	26,92	1,65 s	31,0	31,07	2,08 s
22	55,2	55,10	2,76 d (15,0)/2,90 d (15,0)			
23	211,5	212,41	-			
24	54,1	53,98	2,46 dd (7,0, 16,5) 2,52 dd (6,5, 16,5)			
25	24,6	24,44	2,20 m			
26	22,9	22,67	0,91 d (6,5)			
27	22,7	22,53	0,91 d (6,5)			

$^6\delta$  phần aglycon của thornasteroside A [2],  $^b\delta$  do trong pyridine-*d*<sub>5</sub>,  $^c\delta$  125 MHz,  $^d\delta$  500 MHz,  $^6\delta_{\text{C}}$  phần aglycon của natri 6 $\alpha$ -[(*O*- $\beta$ -D-fucopyranosyl-(1 $\rightarrow$ 2)-*O*- $\beta$ -D-galactopyranosyl-(1 $\rightarrow$ 4)-*O*-[ $\beta$ -D-quinovopyranosyl-(1 $\rightarrow$ 2)]-*O*- $\beta$ -D-xylopyranosyl-(1 $\rightarrow$ 3)-*O*- $\beta$ -D-quinovopyranosyl)oxy]-5 $\alpha$ -pregn-9(11)-ene-20-one-3 $\beta$ -yl-sulfat do trong pyridine-*d*<sub>5</sub> [3].

đoạn ký hiệu từ W<sub>1</sub> đến W<sub>4</sub>: Phân đoạn W<sub>3</sub> (7,5 g) được phân tách sơ bộ trên hệ thống sắc ký lõng trung áp (MPLC), sử dụng cột nhồi silica gel pha đảo RP-

18 với hệ dung môi metanol:nước (1/1) thu được phân đoạn ký hiệu W<sub>3A</sub>→W<sub>3G</sub>. Tiếp tục tinh chiết phân đoạn W<sub>3B</sub> (550 mg) bằng sắc ký cột silica gel

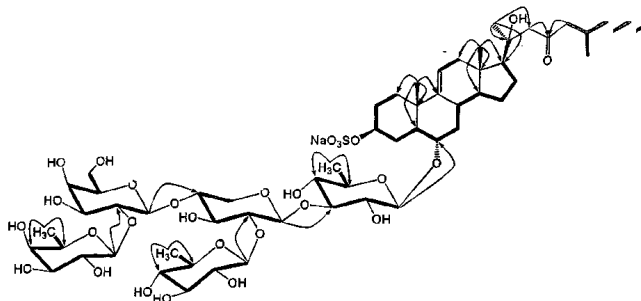
ha thường sử dụng hệ dung môi rửa giải  $\text{CH}_2\text{Cl}_2$ :metanol:nước (2/1/0,2), sau đó tinh chế tiếp bằng sắc ký cột nhồi Shephadex LH-20 với pha động là metanol:nước (1:1) thu được hợp chất 2 (11 mg). Phân đoạn  $W_4$  (3,6 g) được phân tách sơ bộ trên MPLC, sử dụng cột nhồi silica gel với hệ dung môi  $\text{CH}_2\text{Cl}_2$ :metanol:nước (6/1/0,1) thu được 4 phân đoạn  $W_4A \rightarrow W_4D$ . Phân đoạn  $W_4D$  (100 mg) được

dưa lên cột sephadex LH-20 sử dụng pha động metanol:nước (2/1) thu được hai phân đoạn  $W_4D_1$  (40mg) và  $W_4D_2$  (30 mg). Phân đoạn  $W_4D_1$  (40mg) được tiếp tục phân tách trên sắc ký cột pha thường hệ dung môi  $\text{CH}_2\text{Cl}_2$ :metanol:nước (3/1/0,1) và tinh chế tiếp bằng sắc ký cột silica gel pha đảo YMC sử dụng hệ dung môi metanol:nước (1,5/1) thu được hợp chất 1 (8,5 mg).

Bảng 2: Số liệu phổ  $^1\text{H-NMR}$  và  $^{13}\text{C-NMR}$  phần chuỗi đường của 1, 2 và các chất tham khảo

C	$^{13}\text{C}$	1		$^{13}\text{C}$	2	
		$\delta_{\text{C}}^{\text{b,c}}$	$\delta_{\text{H}}^{\text{b,d}}$ ( $J = \text{Hz}$ )		$\delta_{\text{C}}^{\text{b,c}}$	$\delta_{\text{H}}^{\text{b,d}}$ ( $J = \text{Hz}$ )
<i>Qui I</i>						
1'	104,4	104,40	4,85 d (7,5)	105,1	105,12	4,79 d (8,0)
2'	74,2	74,16	3,99 f	74,1	74,16	3,97 dd (8,0, 9,0)
3'	90,2	89,34	3,93 f	90,2	90,23	3,81 t (9,0)
4'	74,6	74,33	3,57 f	74,5	74,54	3,55 t (9,0)
5'	72,0	71,99	3,75 f	71,9	72,08	3,67 m
6'	18,2	18,54	1,61 d (6,0)	17,9	18,54	1,58 d (6,0)
<i>Xyl</i>						
1''	105,1	104,40	5,12 d (7,5)	104,4	104,49	5,01 d (7,5)
2''	82,6	83,16	3,99 f	82,2	82,19	4,06 f
3''	75,7	75,24	4,26 f	75,5	75,81	4,07 f
4''	79,2	78,30	4,24 f	79,2	79,25	4,20 f
5''	64,7	64,21	3,46/3,84 f	64,5	64,60	3,47/3,79 f
<i>Qui II</i>						
1'''	105,1	105,63	5,13 d (7,5)	105,1	105,12	5,25 d (7,0)
2'''	75,7	76,05	4,02 f	75,4	76,31	4,07 f
3'''	76,9	76,81	4,12 f	76,9	76,98	4,07 f
4'''	76,3	75,57	3,90 f	76,2	75,58	4,03 f
5'''	73,8	73,87	3,70 f	73,9	73,93	3,67 f
6'''	18,7	18,16	1,83 d (6,0)	18,5	17,98	1,77 d (6,0)
<i>Gal</i>						
1''''	102,5	102,03	4,95 d (7,5)	102,4	102,48	4,98 d (7,5)
2''''	83,5	82,65	4,43 f	83,4	83,49	4,43 f
3''''	75,1	74,65	4,18 dd (3,0, 9,0)	75,0	75,00	4,18 f
4''''	69,5	69,25	4,44 f	69,0	69,39	4,47 f
5''''	76,9	76,81	4,06 f	76,8	76,82	4,05 f
6''''	62,2	61,91	4,25/4,40 f	62,0	62,05	4,32/4,40 f
<i>Fuc</i>						
1'''''	107,2	106,66	4,87 d (7,5)	107,2	107,27	4,84 d (7,5)
2'''''	72,0	73,47	4,38 f	71,9	73,67	4,41 f
3'''''	75,1	74,65	4,02 f	75,0	75,07	4,00 f
4'''''	72,7	72,32	3,96 f	72,6	72,61	3,95 f
5'''''	72,0	71,85	3,60 f	71,9	71,95	3,62 f
6'''''	17,5	17,12	1,49 d (6,0)	17,2	17,24	1,45 d (6,0)

<sup>b</sup>c phân chuỗi đường của thornasteroside A do trong pyridine-d<sub>5</sub> [2], <sup>b</sup>đó trong pyridine-d<sub>5</sub>, <sup>c</sup>125 MHz, <sup>d</sup>500 MHz, <sup>e</sup>C phân chuỗi đường của natri 6α-[(O-β-D-fucopyranosyl-(1→2)-O-β-D-galactopyranosyl-(1→4)-O-β-D-quinovopyranosyl-(1→2)]-O-β-D-xylopyranosyl-(1→3)-O-β-D-quinovopyranosyl]oxy]-5α-pregn-9(11)-ene-20-one-3β-yl-sulfate do trong pyridine-d<sub>5</sub> [3], <sup>f</sup>hiệu bị chồng lấp.



Hình 2: Các tương tác COSY (→) và HMBC (→) chính của 1

Thomasteroside A (1): Chất bột màu trắng;  $[\alpha]_D -5$  ( $c 0,1, \text{MeOH}$ );  $^1\text{H-NMR}$  (500 MHz, Pyridine- $d_5$ ) và  $^{13}\text{C-NMR}$  (125 MHz, Pyridine- $d_5$ ), xem bảng 1 và 2; ESI-MS:  $m/z$  1289 [ $\text{M}+\text{Na}]^+$  ( $\text{C}_{56}\text{H}_{91}\text{NaO}_{28}\text{S}$ ,  $M = 1266$ ).

Natri 6a-[ $(O-\beta\text{-D-fucopyranosyl-(1\rightarrow2)}-O-\beta\text{-D-galactopyranosyl-(1\rightarrow4)}-O-\beta\text{-D-quinoxopyranosyl-(1\rightarrow2)}]-O-\beta\text{-D-xylopyranosyl-(1\rightarrow3)}-O-\beta\text{-D-quinoxopyranosyl}]\text{oxy}-5\alpha\text{-pregn-9(11)-ene-20-one-3\beta-yl-sulfate}$  (2): Chất bột màu trắng;  $[\alpha]_D +10$  ( $c 0,1, \text{MeOH}$ );  $^1\text{H-NMR}$  (500 MHz, Pyridine- $d_5$ ) và  $^{13}\text{C-NMR}$  (125 MHz, Pyridine- $d_5$ ), xem bảng 1; ESI-MS:  $m/z$  1143 [ $\text{M}-\text{Na}]^-$  ( $\text{C}_{50}\text{H}_{79}\text{NaO}_{27}\text{S}$ ,  $M = 1166$ ).

### 3. KẾT QUẢ VÀ THẢO LUẬN

Hợp chất 1 được phân lập dưới dạng chất bột vô định hình màu trắng. Các phổ NMR của 1 đặc trưng cho một hợp chất asterosaponin, một lớp chất điển hình của các loài sao biển [2]. Phổ  $^{13}\text{C-NMR}$  của 1 xuất hiện 56 tín hiệu cacbon, trong đó có 27 tín hiệu của phần khung aglycon 29 tín hiệu của một chuỗi năm đơn vị đường. Sự có mặt của năm gốc đường được xác định với sự xuất hiện của năm cacbon anomе tại  $\delta_c$  104,40 (C-1' và C-1''), 105,63 (C-1'''), 102,03 (C-1''') và 106,66 (C-1''''') có tương tác với các tín hiệu proton anomе (mỗi tín hiệu 1H, d,  $J = 7,5$  Hz) tương ứng tại  $\delta_H$  4,85 (H-1'), 5,12 (H-1''), 5,13 (H-1'''), 4,95 (H-1''') và 4,87 (H-1''''') trên phổ HSQC. Sự xuất hiện của ba tín hiệu methyl tại  $\delta_c$  18,54 (C-6'), 18,16 (C-6'') và 17,12 (C-1''''')/ $\delta_H$  1,61 (H-6'), 1,83 (H-6'') và 1,49 (H-6''') mỗi tín hiệu 3H, d,  $J = 6,0$  Hz, cho phép dự đoán sự có mặt

của các đơn vị đường quinovose hoặc fucose. So sánh số liệu phổ  $^{13}\text{C-NMR}$  của chuỗi đường (bảng 2) với các số liệu đã được công bố [2] kết hợp với kết quả phân tích các phổ cộng hưởng từ hạt nhân  $^1\text{H}$  chiêu HSQC, HMBC và COSY (hình 2) cho phép xác định chuỗi đường là 3-O-[ $\beta\text{-D-fucopyranosyl-(1\rightarrow2)}-\beta\text{-D-galactopyranosyl-(1\rightarrow4)}-\beta\text{-D-quinoxopyranosyl-(1\rightarrow2)}]-\beta\text{-D-xylopyranosyl-(1\rightarrow3)}-\beta\text{-D-quinoxopyranoside}$ .

Phản aglycon của 1 có các tín hiệu đặc trưng của hai nhóm oximetin [ $\delta_c$  77,86 (C-3) và 79,89/ $\delta_H$  4,89 (1H, m, H-3) và 3,82 (1H, m, H-6)], một cacbon bắc bonds liên kết với ôxi [ $\delta_c$  73,87 (C-20)], một liên kết đôi bị thê ba vị trí [ $\delta_c$  145,48 (s, C-9) và 116,66 (4, C-11)/ $\delta_H$  5,20 d ( $J = 5,5$  Hz, H-11)], một nhóm keton [ $\delta_c$  212,41], và năm nhóm methyl [ $\delta_c$  13,60 (C-18), 19,29 (C-19), 26,92 (C-21), 22,67 (C-26) và 22,53 (C-27)/ $\delta_H$  1,01 (3H, s, H-18), 0,93 (3H, s, H-19), 1,65 (3H, s, H-21) và 0,91 (6H, d,  $J = 6,5$  Hz, H-26 và H-27)]. Tín hiệu proton oximetin H-3 bị dịch chuyển mạnh về phía vùng trường thấp tại  $\delta_H$  4,89 chứng minh vị trí liên kết thường gặp của nhóm sulfat tại C-3. Phân tích chi tiết các tương tác trên phổ COSY cho phép xác định các mảnh cấu trúc H-1/H-2/H-3/H-4/H-5/H-7/H-8/H-14/H-15/H-16/H-17, H-11/H-12, H-24/H-25/H-26(H-27). Kết quả này cùng với tương tác xa HMBC nhận được giữa H-19 ( $\delta_H$  0,93) và C-1 ( $\delta_c$  35,96)/C-5 ( $\delta_c$  49,15)/C-9 ( $\delta_c$  145,48)/C-10 ( $\delta_c$  38,30), H-18 ( $\delta_H$  1,01) và C-12 ( $\delta_c$  42,40)/C-13 ( $\delta_c$  41,58)/C-14 ( $\delta_c$  53,98)/C-17 ( $\delta_c$  59,37), H-21 ( $\delta_H$  1,65) và C-17 ( $\delta_c$  59,37)/C-20 ( $\delta_c$  73,78)/C-22 ( $\delta_c$  55,10) và giữa H-22 ( $\delta_H$  2,76 và 2,90)/H-24 ( $\delta_H$  2,46 và 2,52) và C-22

212,41) cho phép xác định chính xác cấu trúc của phần aglycon (hình 2). Ngoài ra, tương HMBC nhận được giữa proton anomer H-1' (δ<sub>H</sub> 5) và C-6 (δ<sub>C</sub> 79,89) cho phép xác định vị trí liên của chuỗi năm đơn vị đường tại C-6 của aglycon. các dữ kiện đã nêu, cùng với sự phù hợp về số phô <sup>13</sup>C-NMR với các số liệu tương ứng đã công bố cho phép xác định hợp chất 1 chính là nasteroside A [2].

Hợp chất 2 được xác định là natri 6α-[(O-β-D-pyranosyl-(1→2)-O-β-D-galactopyranosyl-4)-O-[β-D-quinovopyranosyl-(1→2)]-O-β-D-pyranosyl-(1→3)-O-β-D-quinovopyranosyl]-5α-pregn-9(11)-ene-20-one-3β-yl-sulfate [3], cơ sở phân tích chi tiết số liệu phô cộng hưởng hạt nhân một chiều (<sup>1</sup>H-NMR và <sup>13</sup>C-NMR) và chiều (HSQC, HMBC, COSY và ROESY) kết so sánh với các số liệu phô đã được công bố (hình 1 và 2).

Tác giả: Nguyễn Xuân Cường

Viện Hóa sinh biển, Viện Hàn lâm Khoa học và Công nghệ Việt Nam

18 Hoàng Quốc Việt, Cầu Giấy, Hà Nội, Việt Nam

E-mail: cuongnx@imbc.vast.vn.

Lời cảm ơn. Công trình này được hoàn thành với sự tài trợ kinh phí của Viện Hàn lâm Khoa học và Công nghệ Việt Nam, đề tài mã số: VAST.TD.ĐAB.03/13-15.

## TÀI LIỆU THAM KHẢO

1. Dictionary of Natural Products on DVD, version 18.1, Copyright® 1982-2009 CRC Press.
2. V. U. Ahmad, A. Basha. *Spectroscopic Data of Steroid Glycosides: Cholestanes, Ergostanes, Withanolides, Stigmastane*. New York: Springer; 2007.
3. Y. Itakura, T. Komori. *Biologically active glycosides from Asteroidea. IX. steroid oligoglycosides from the starfish Asterias amurensis [cf.] versicolor Sladen, 2. Structure elucidation of two new oligoglycoside sulfates, versicoside B and versicoside C*. Liebigs Annalen der Chemie, 1986(2), 359-373 (1986).